

FIG. 1A

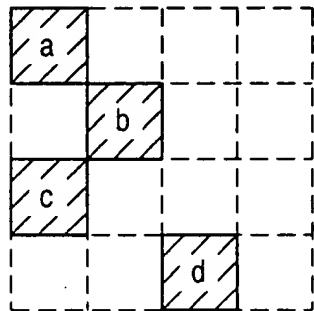


FIG. 1B

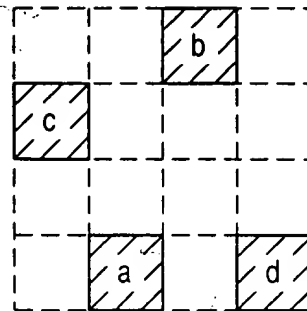


FIG. 1C

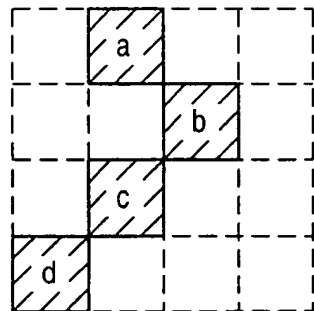
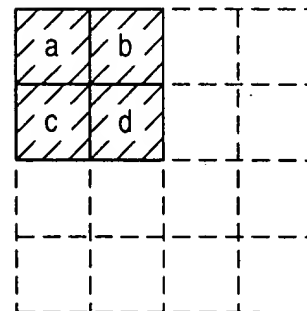


FIG. 1D



09615577.071300

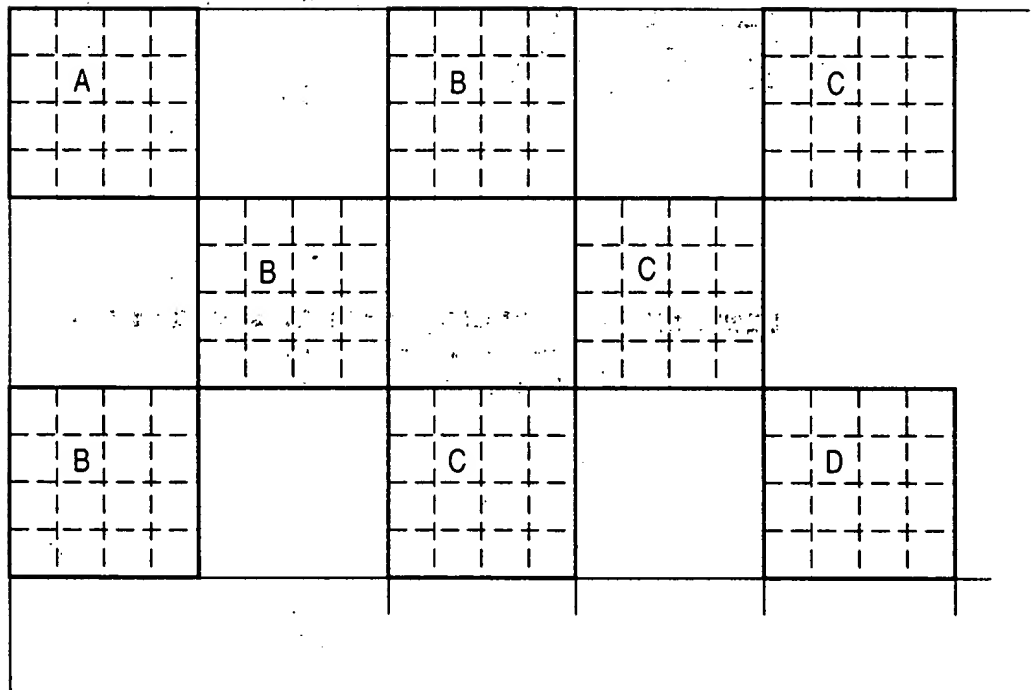
45

FIG. 2

A	B	C	D	A
B	C	D	A	B
C				

09615577.071300

FIG. 3



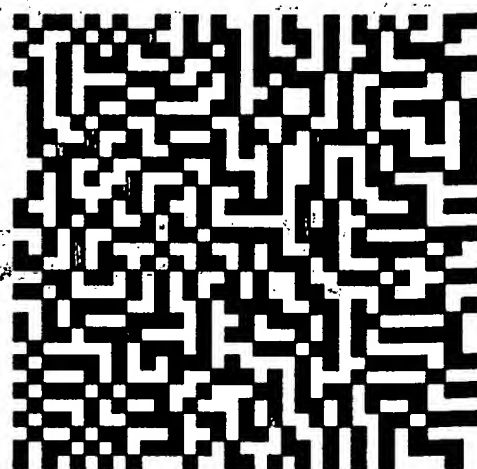
091515577.071300

FIG. 4

A	B	C	D	A	A
C	D	C	D	C	D
A	B				
C	D				

09615577.071300

FIG. 5



09615577.071300

FIG. 6

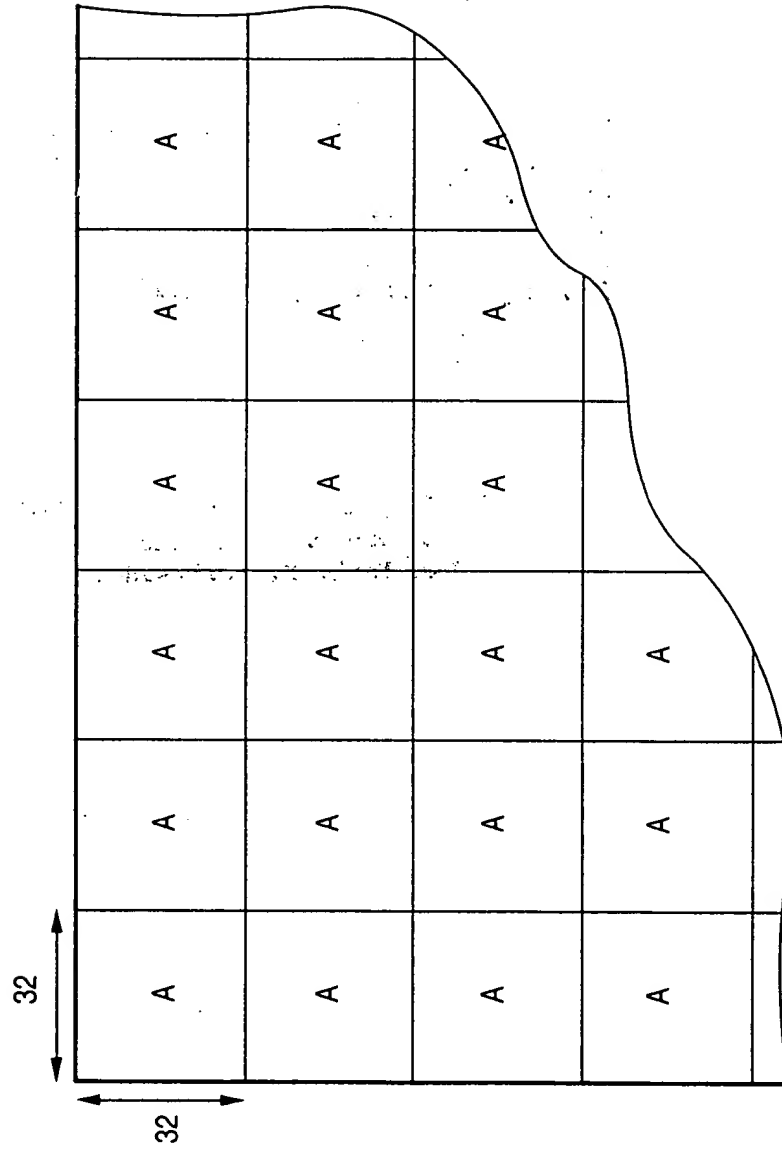


FIG. 7

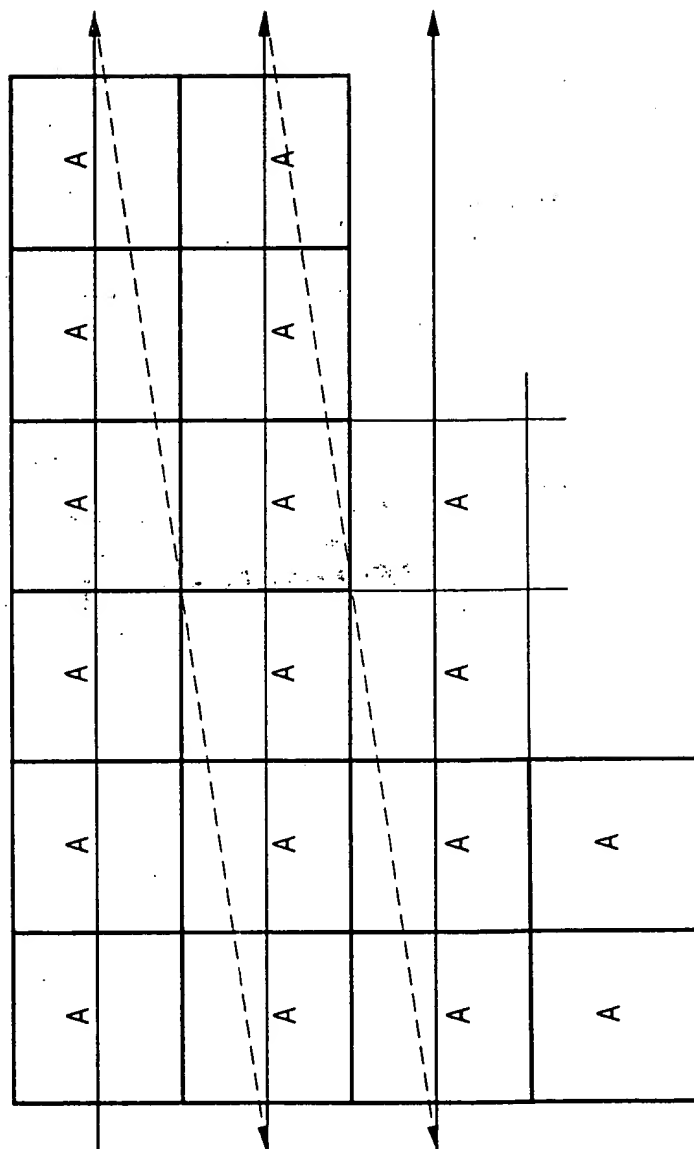
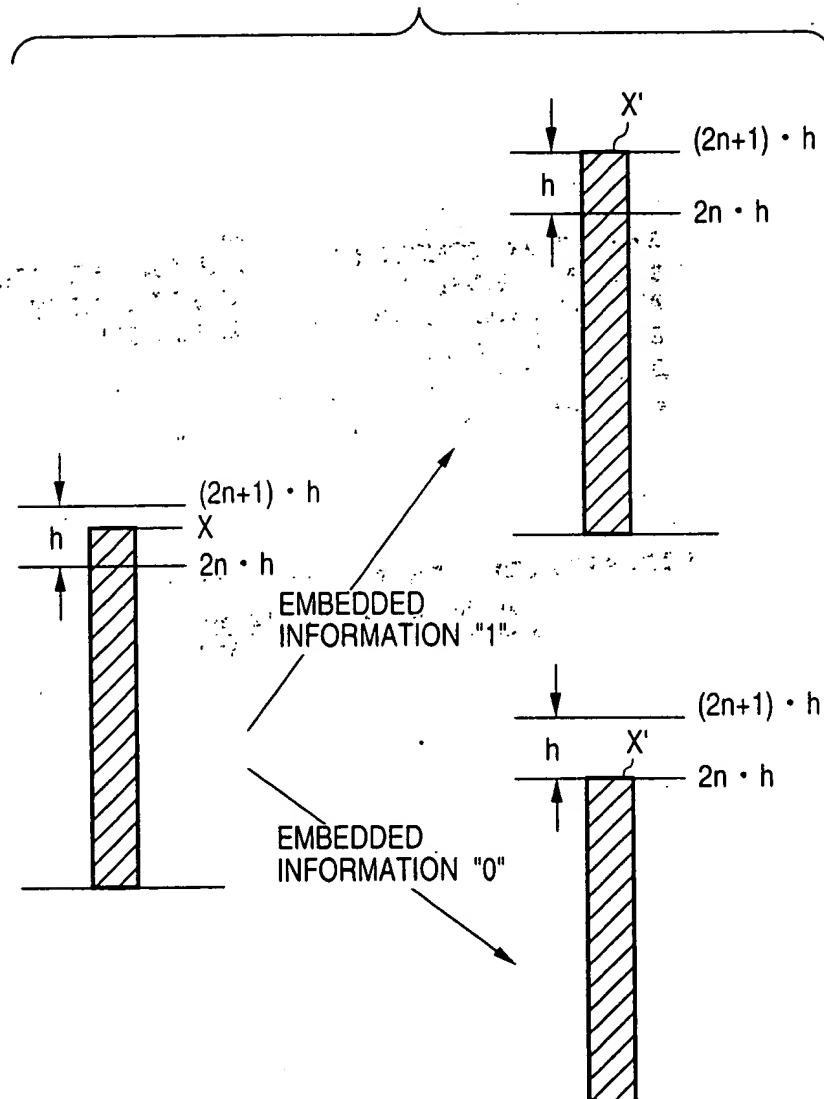


FIG. 8



09615577.071300

FIG. 9A

FIG. 9B



008720.7557960

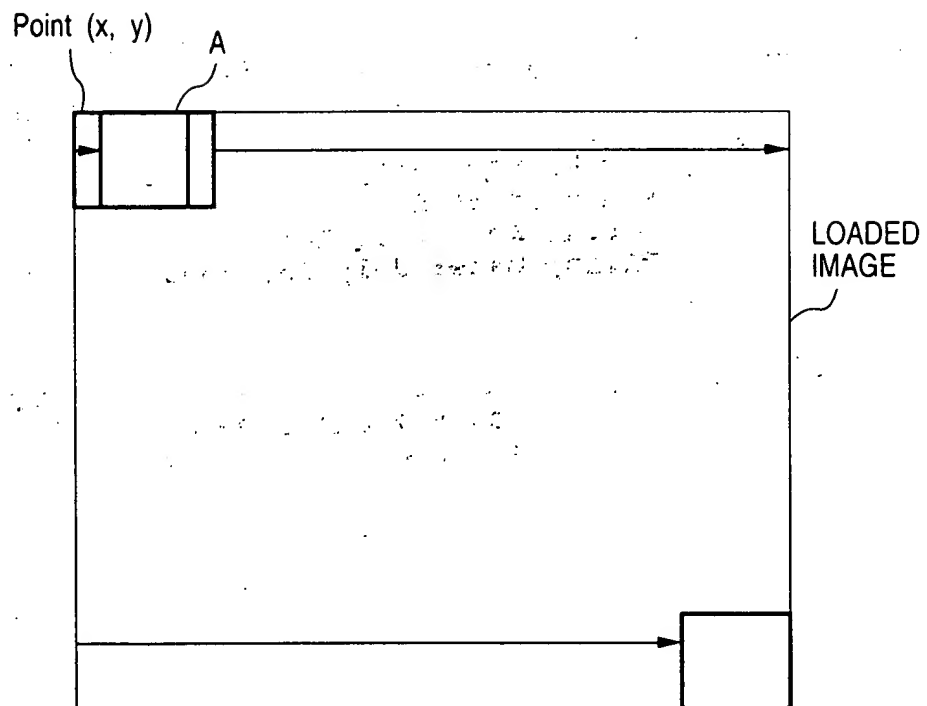
FIG. 10A

FIG. 10B



009615577.071300

FIG. 11



09615577.071300

FIG. 12

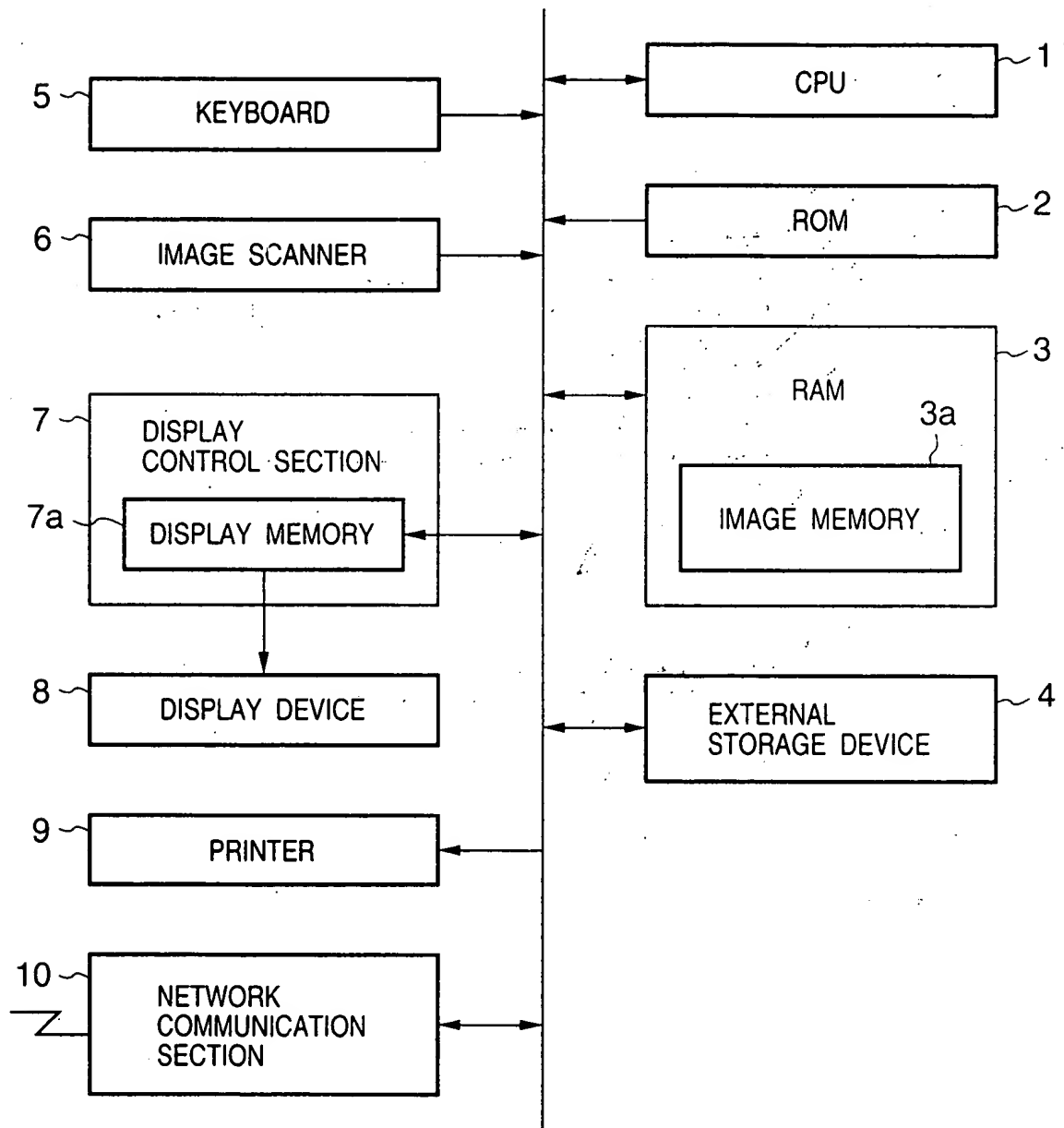
	Point (x, y)	DETERMINATION COUNT
N = 1	(x ₁ , y ₁)	T ₁
N = k	(x _k , y _k)	T _k

FIG. 13

	P ₁	P _n
N = 1	1 1	0
N = k	0 1	0

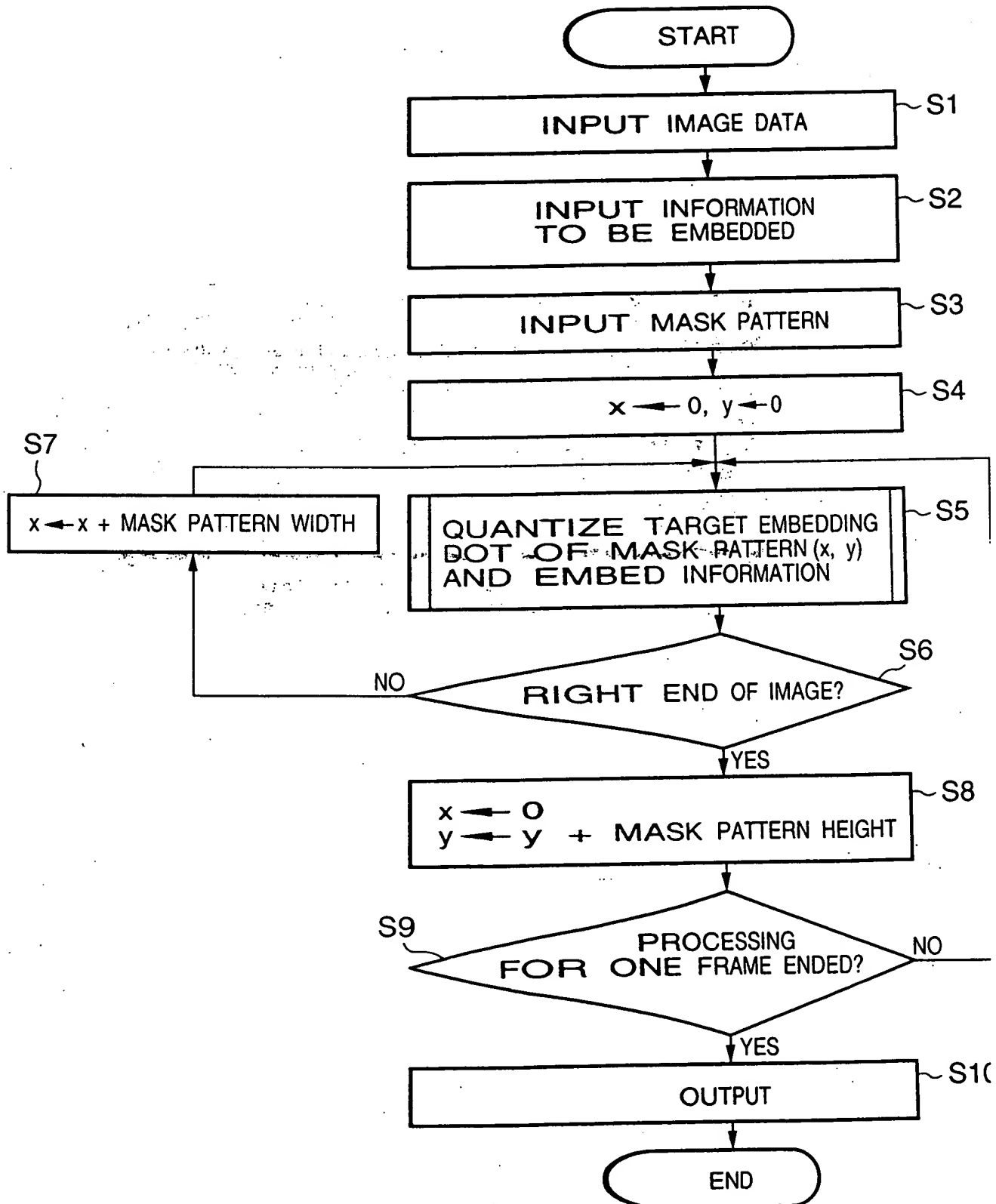
09615577.071300

FIG. 14



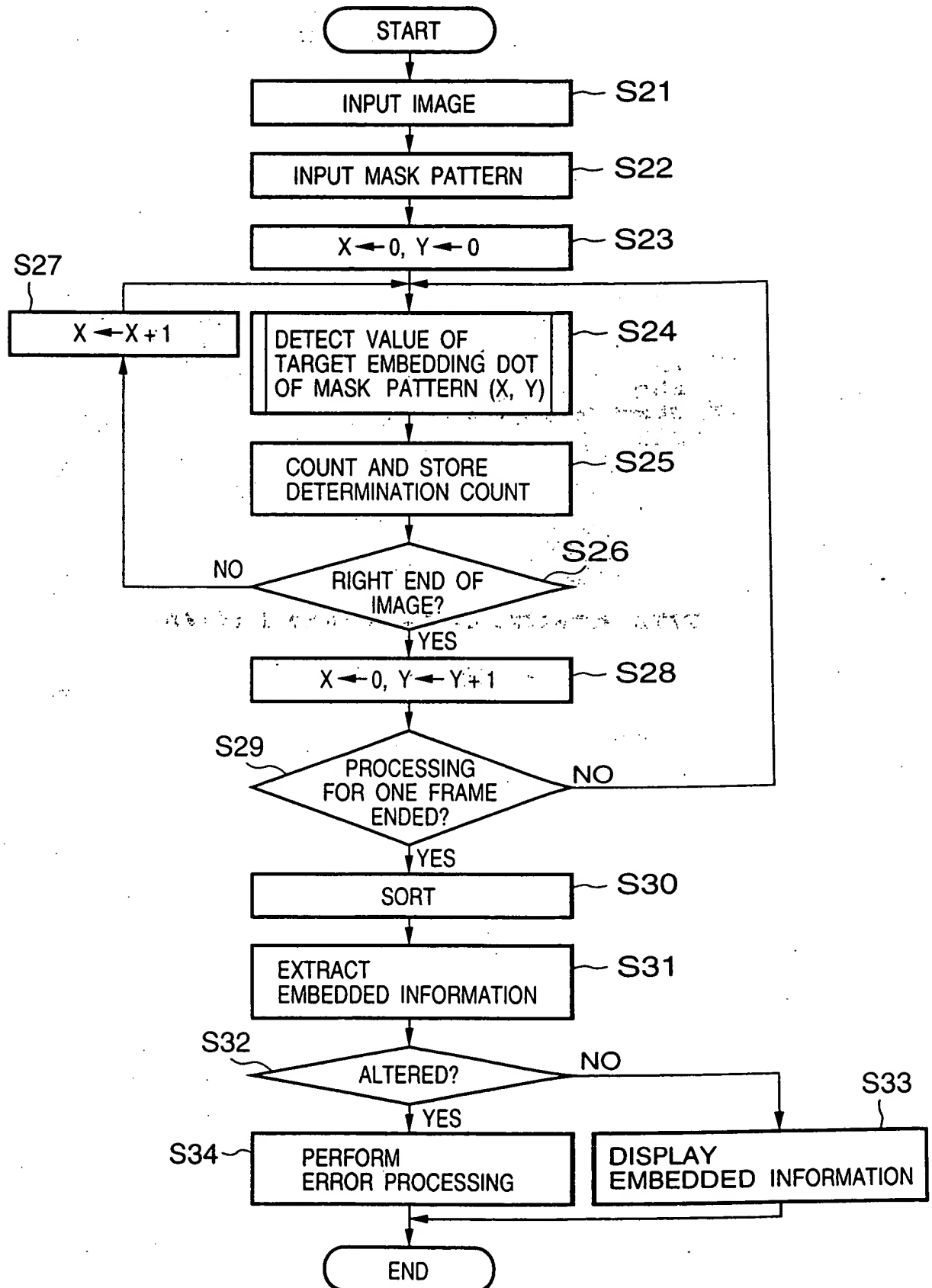
09615577.071300

FIG. 15



009615577.071300

FIG. 16



00615577.071300

FIG. 17

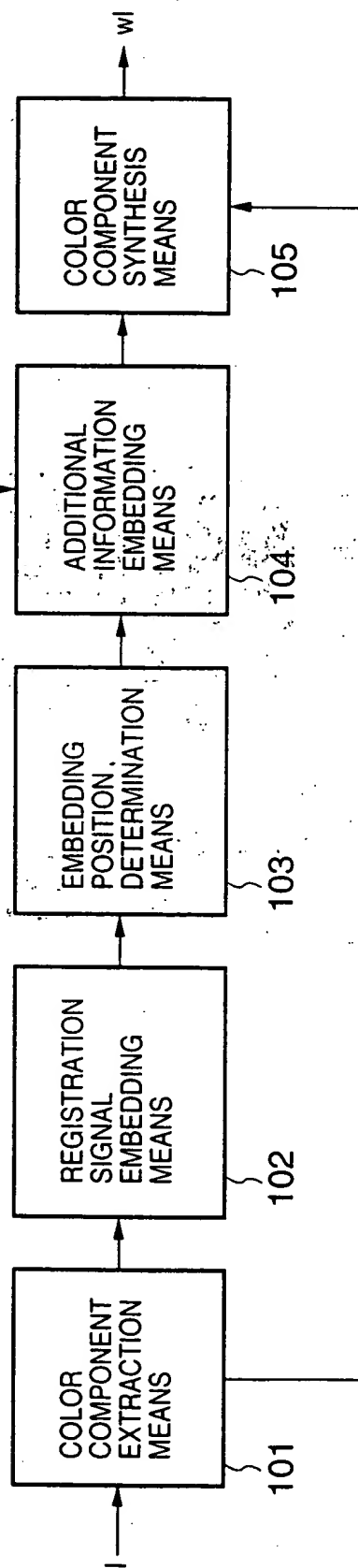
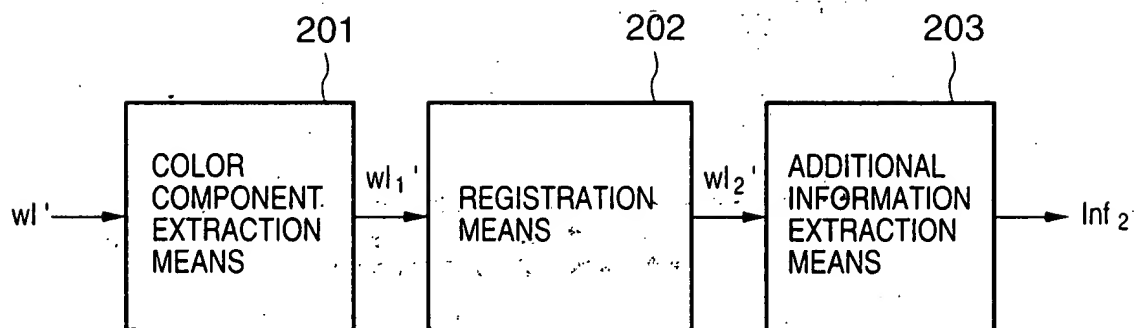
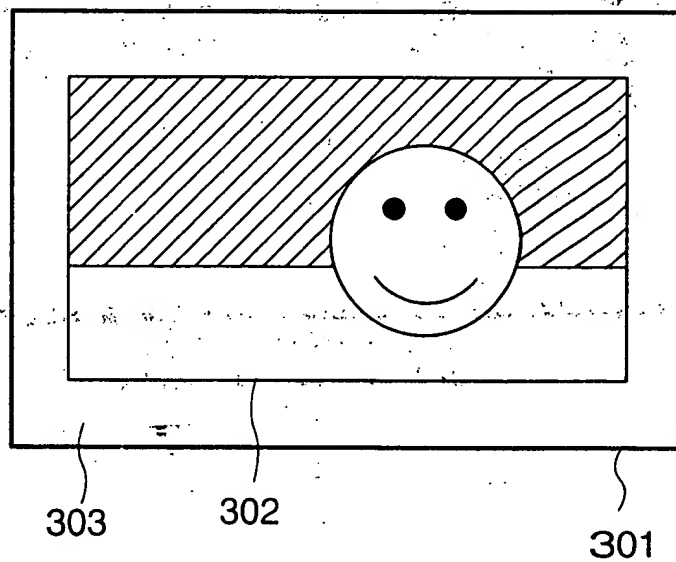


FIG. 18



ID9615577.071300

FIG. 19



09615577.071300

FIG. 20

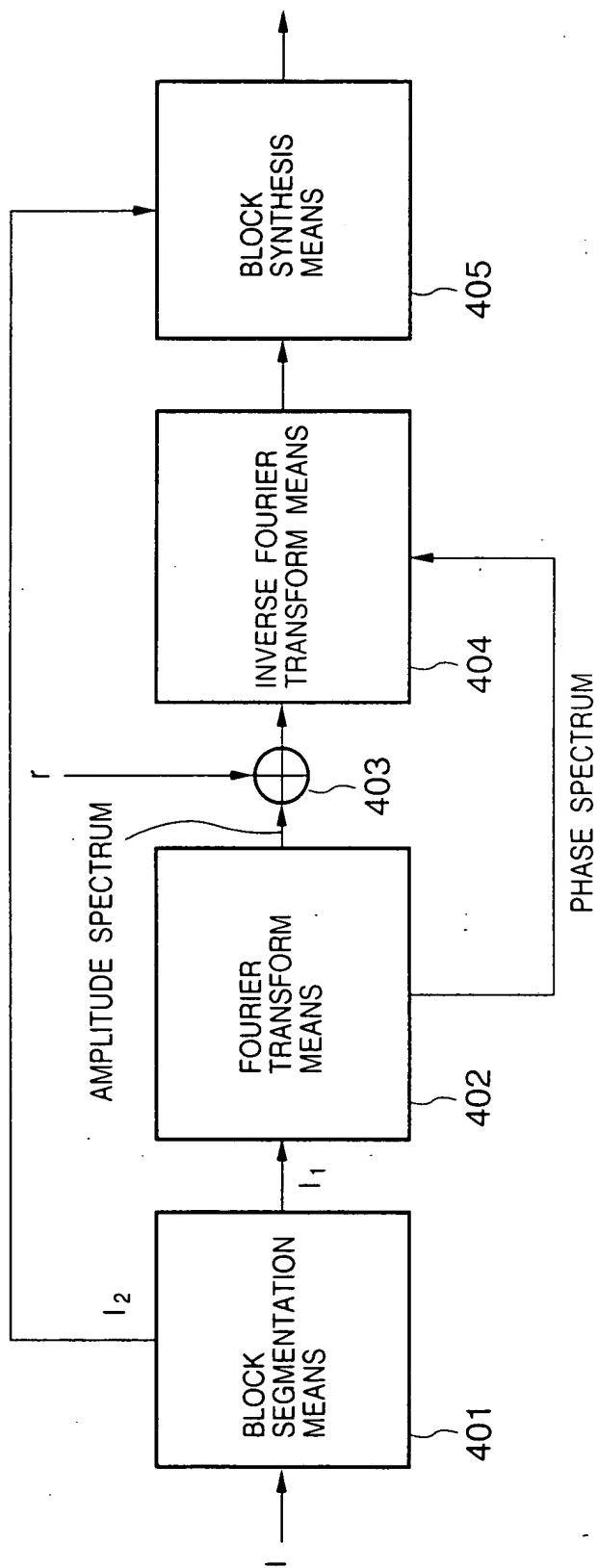
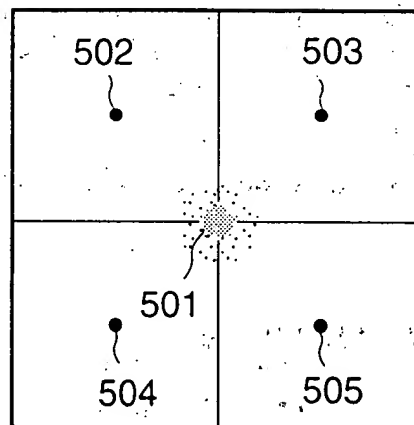
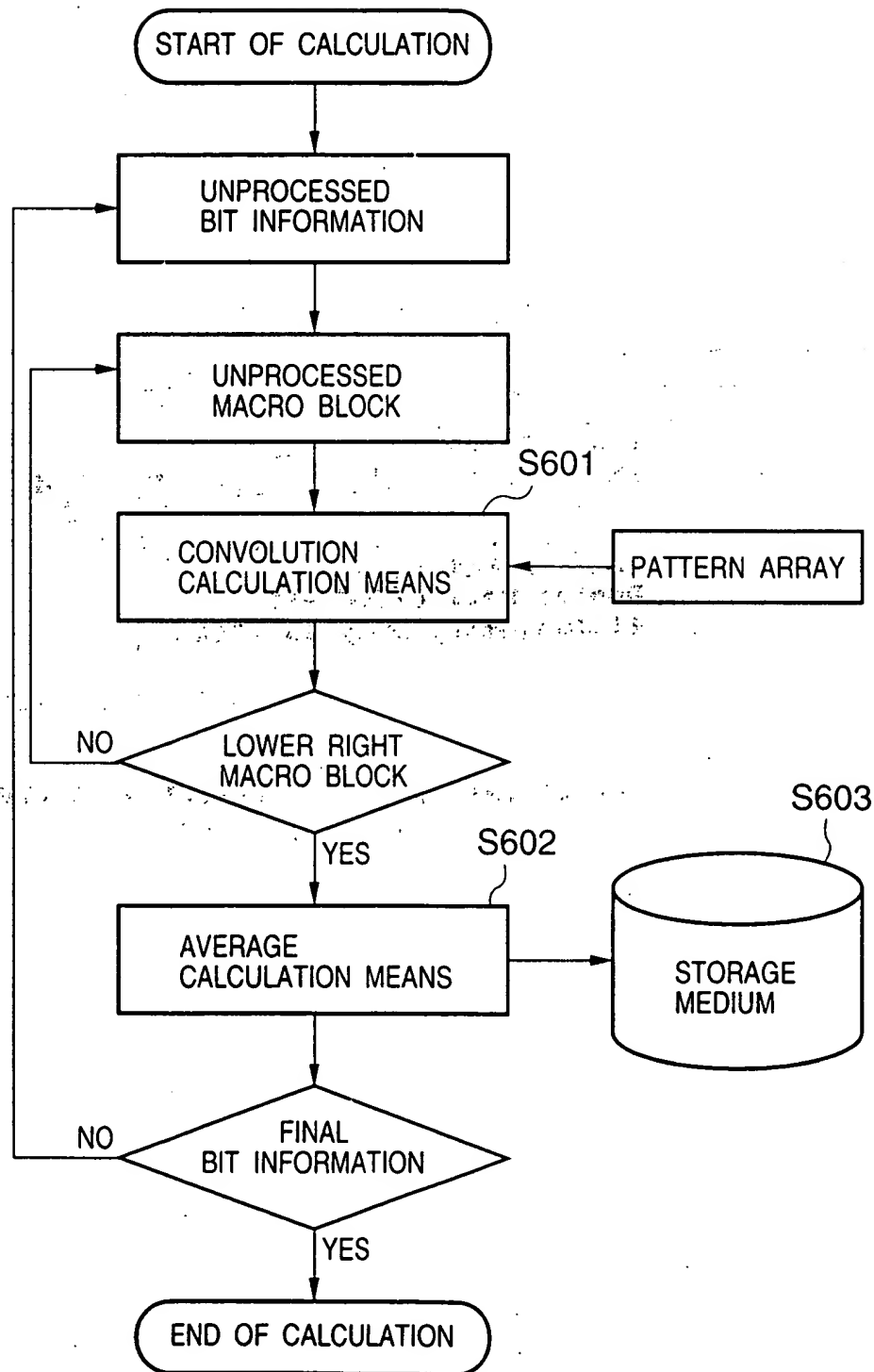


FIG. 21



00615577.071300

FIG. 22



09615577.071300

FIG. 23

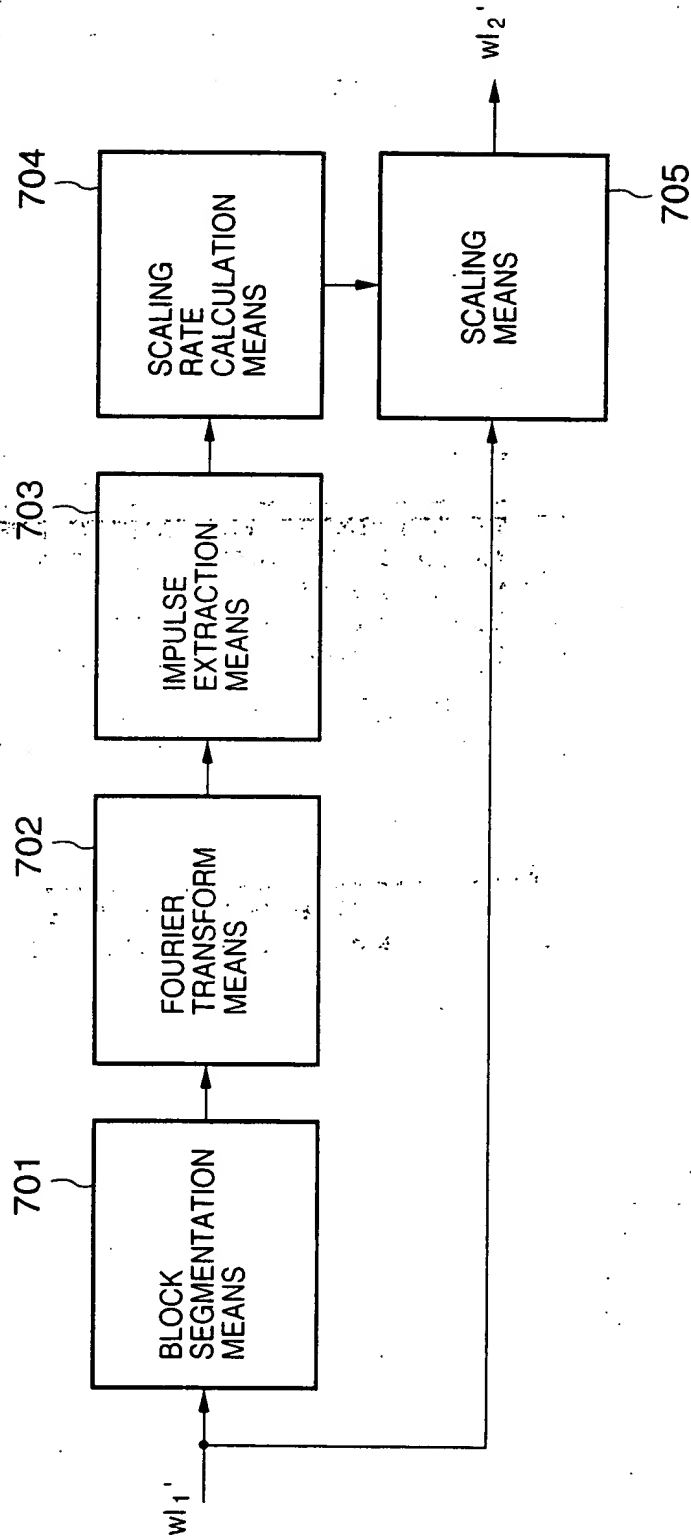


FIG. 24A

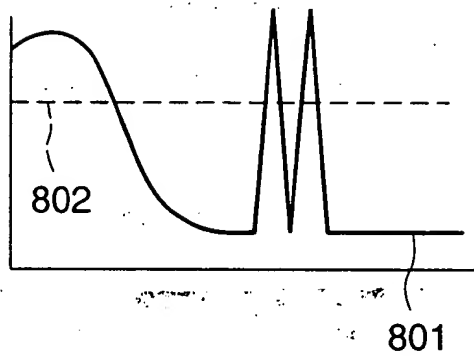
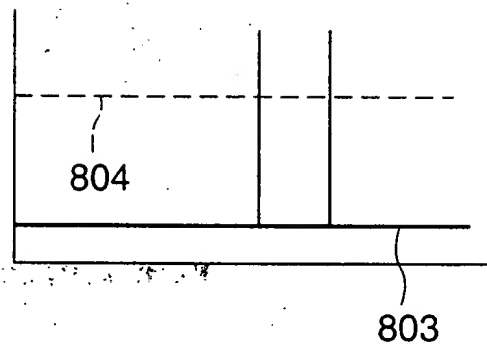


FIG. 24B



0915577.071300

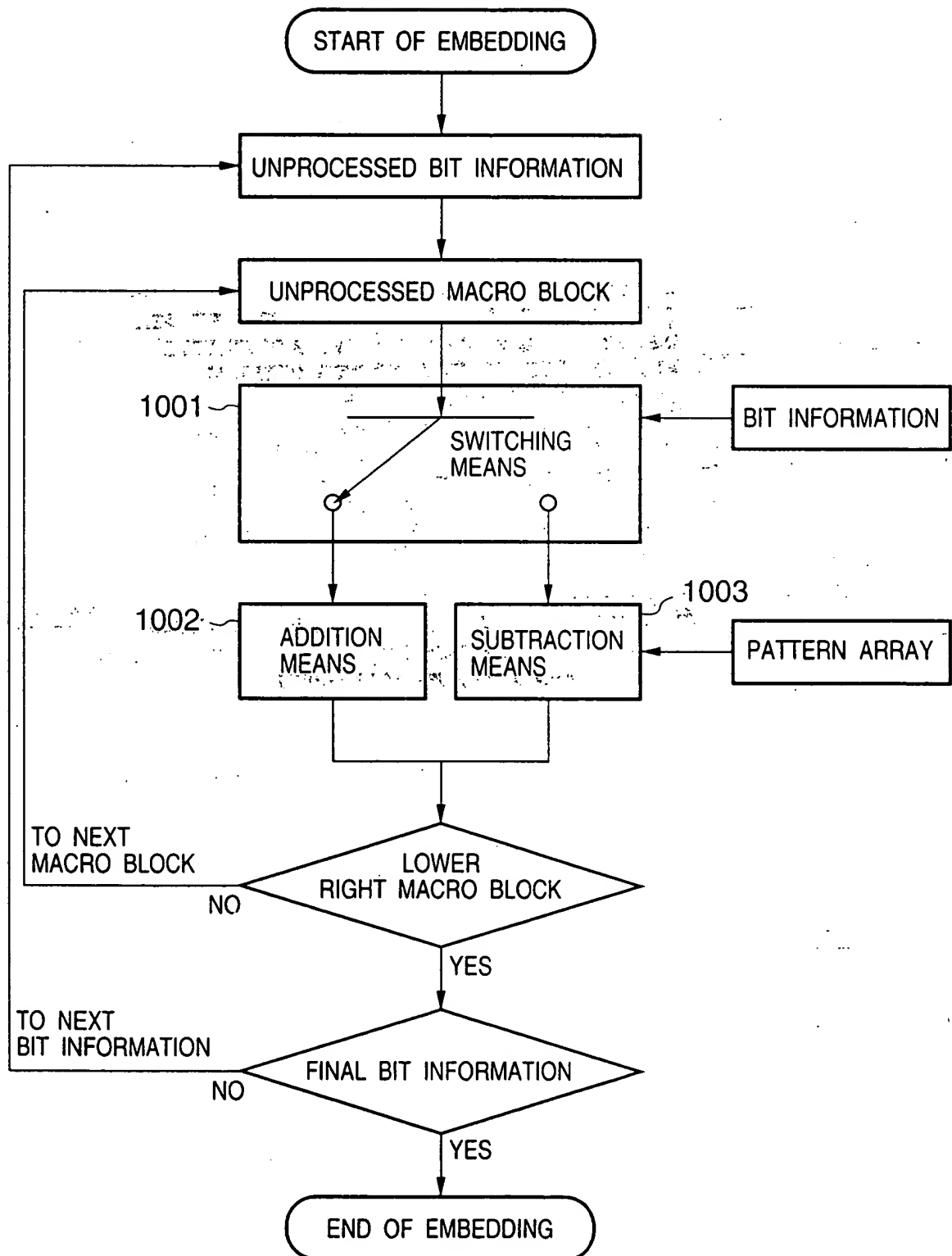
FIG. 25

901

+c	+c	+c	+c	0	0	0	0
+c	+c	+c	+c	0	0	0	0
+c	+c	+c	+c	0	0	0	0
+c	+c	+c	+c	0	0	0	0
0	0	0	0	-c	-c	-c	-c
0	0	0	0	-c	-c	-c	-c
0	0	0	0	-c	-c	-c	-c
0	0	0	0	-c	-c	-c	-c

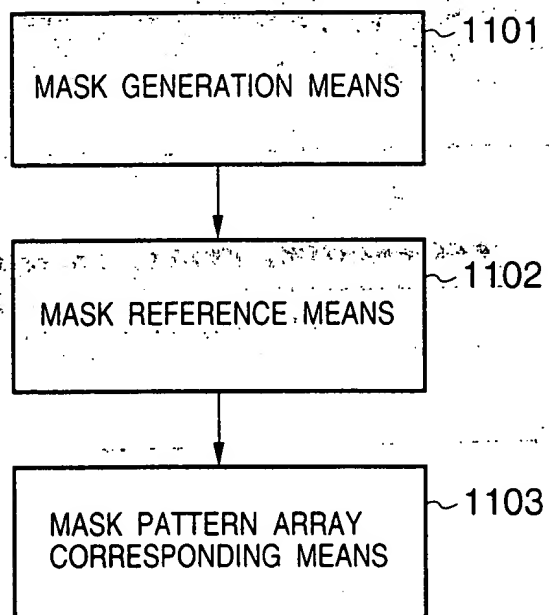
09615577.071300

FIG. 26

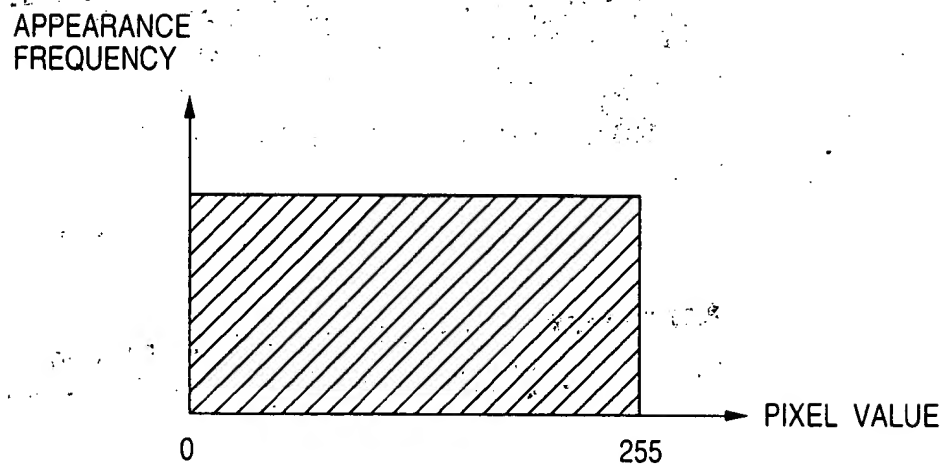


09615577.071300

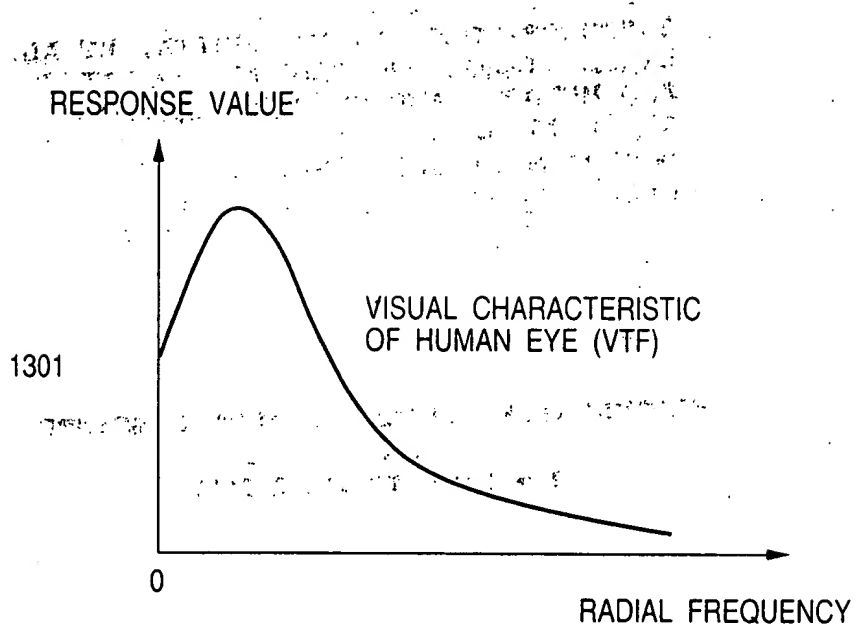
FIG. 27



09615577.071300

FIG. 28

009615577.071300

FIG. 29

09615577.071300

29/53

FIG. 30A

POWER SPECTRUM

VISUAL CHARACTERISTIC OF BLUE NOISE MASK

0

RADIAL FREQUENCY

FIG. 30B

POWER SPECTRUM

VISUAL CHARACTERISTIC OF CONE MASK

RADIAL FREQUENCY

09615577.071300

FIG. 31

1501

0	14	13	3
11	5	6	8
7	9	10	4
12	2	1	15

09615577.071300

FIG. 32

1601

0	14	13	3
11	5	6	8
7	9	10	4
12	2	1	15

09615577.071300

FIG. 33A

1701

0	14	13	3
11	5	6	8
7	9	10	4
12	2	1	15

FIG. 33B

1702

1703

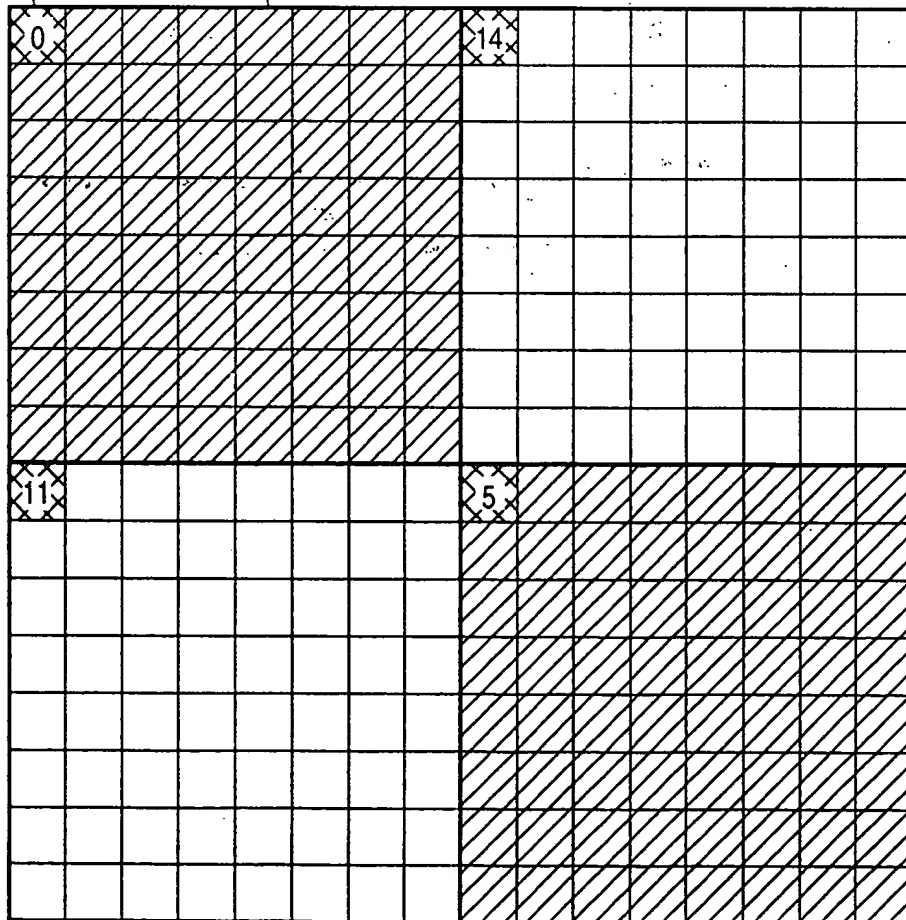


FIG. 34A

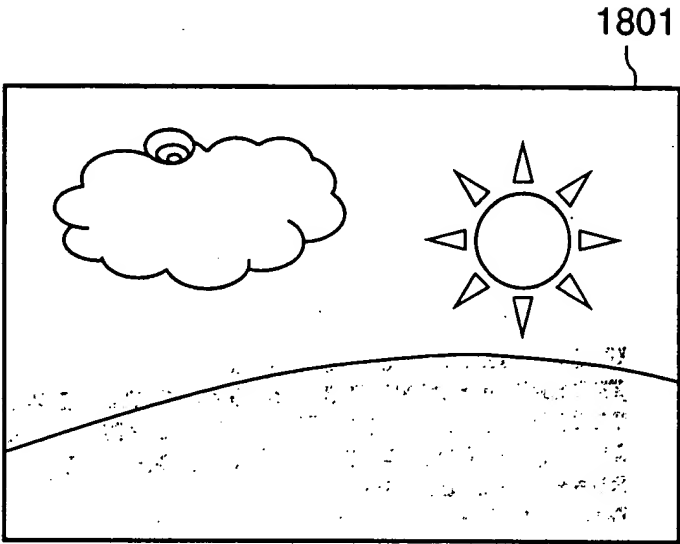
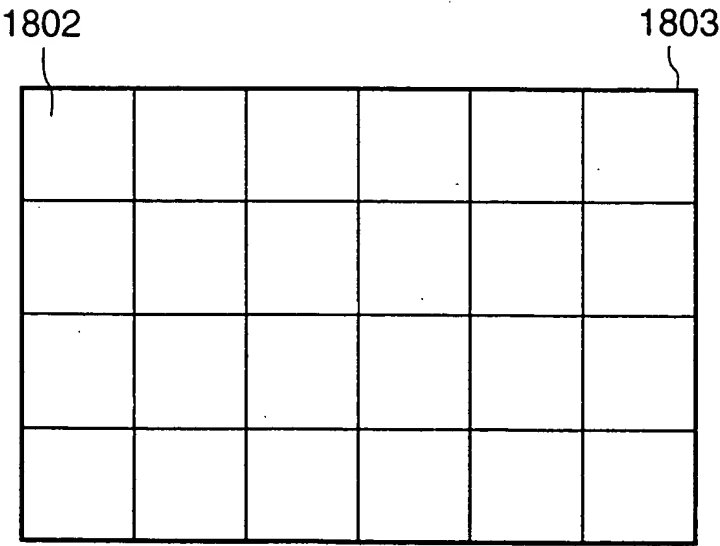


FIG. 34B



09615577-071300

FIG. 35

a00	a01	a02	a03	a04	a05	a06	a07
a10	a11	a12	a13	a14	a15	a16	a17
a20	a21	a22	a23	a24	a25	a26	a27
a30	a31	a32	a33	a34	a35	a36	a37
a40	a41	a42	a43	a44	a45	a46	a47
a50	a51	a52	a53	a54	a55	a56	a57
a60	a61	a62	a63	a64	a65	a66	a67
a70	a71	a72	a73	a74	a75	a76	a77

+c	+c	+c	+c	+c	+c	+c	0
+c	+c	+c	+c	+c	+c	+c	0
+c	+c	+c	+c	+c	+c	+c	0
+c	+c	+c	+c	+c	+c	+c	0
0	0	0	0	0	0	0	-c
0	0	0	0	0	0	0	-c
0	0	0	0	0	0	0	-c
0	0	0	0	0	0	0	-c

a00	a01	a02	a03	a04	a05	a06	a07
a10	a11	a12	a13	a14	a15	a16	a17
a20	a21	a22	a23	a24	a25	a26	a27
a30	a31	a32	a33	a34	a35	a36	a37
a40	a41	a42	a43	a44	a45	a46	a47
a50	a51	a52	a53	a54	a55	a56	a57
a60	a61	a62	a63	a64	a65	a66	a67
a70	a71	a72	a73	a74	a75	a76	a77

a00	a01	a02	a03	a04	a05	a06	a07
a10	a11	a12	a13	a14	a15	a16	a17
a20	a21	a22	a23	a24	a25	a26	a27
a30	a31	a32	a33	a34	a35	a36	a37
a40	a41	a42	a43	a44	a45	a46	a47
a50	a51	a52	a53	a54	a55	a56	a57
a60	a61	a62	a63	a64	a65	a66	a67
a70	a71	a72	a73	a74	a75	a76	a77

a00	a01	a02	a03	a04	a05	a06	a07
a10	a11	a12	a13	a14	a15	a16	a17
a20	a21	a22	a23	a24	a25	a26	a27
a30	a31	a32	a33	a34	a35	a36	a37
a40	a41	a42	a43	a44	a45	a46	a47
a50	a51	a52	a53	a54	a55	a56	a57
a60	a61	a62	a63	a64	a65	a66	a67
a70	a71	a72	a73	a74	a75	a76	a77

$I(x, y)$

$P(x, y)$

$I'(x, y)$

FIG. 36

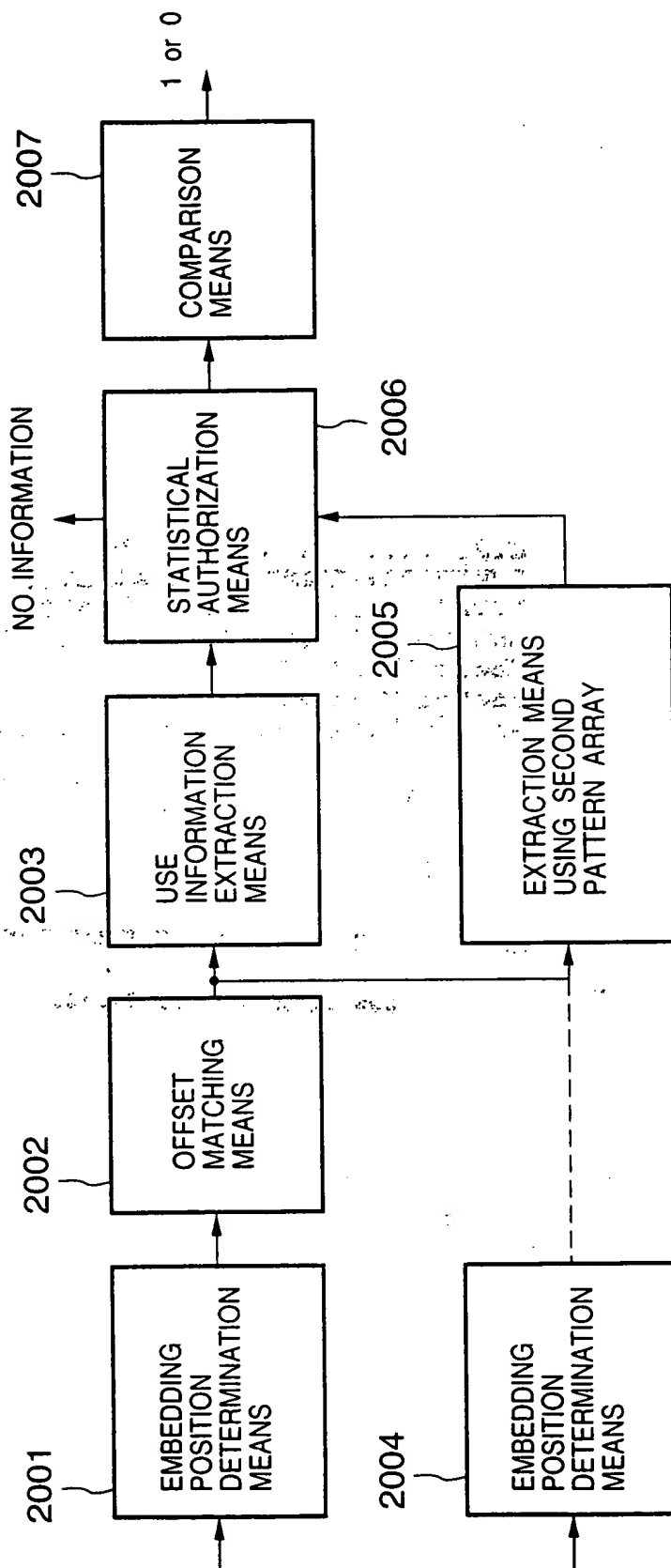


FIG. 37

$a_{00}+c$	$a_{01}+c$	$a_{02}+c$	$a_{03}+c$	a_{04}	a_{05}	a_{06}	a_{07}
$a_{10}+c$	$a_{11}+c$	$a_{12}+c$	$a_{13}+c$	a_{14}	a_{15}	a_{16}	a_{17}
$a_{20}+c$	$a_{21}+c$	$a_{22}+c$	$a_{23}+c$	a_{24}	a_{25}	a_{26}	a_{27}
$a_{30}+c$	$a_{31}+c$	$a_{32}+c$	$a_{33}+c$	a_{34}	a_{35}	a_{36}	a_{37}
a_{40}	a_{41}	a_{42}	a_{43}	$a_{44}-c$	$a_{45}-c$	$a_{46}-c$	$a_{47}-c$
a_{50}	a_{51}	a_{52}	a_{53}	$a_{54}-c$	$a_{55}+c$	$a_{56}-c$	$a_{57}-c$
a_{60}	a_{61}	a_{62}	a_{63}	$a_{64}-c$	$a_{65}-c$	$a_{66}-c$	$a_{67}-c$
a_{70}	a_{71}	a_{72}	a_{73}	$a_{74}-c$	$a_{75}-c$	$a_{76}-c$	$a_{77}-c$



CONVOLUTION

$=32c^2$

$+c$	$+c$	$+c$	$+c$	$+c$	$+c$	0	0
$+c$	$+c$	$+c$	$+c$	$+c$	$+c$	0	0
$+c$	$+c$	$+c$	$+c$	$+c$	$+c$	0	0
$+c$	$+c$	$+c$	$+c$	$+c$	$+c$	0	0
0	0	0	0	0	0	$-c$	$-c$
0	0	0	0	0	0	$-c$	$-c$
0	0	0	0	0	0	$-c$	$-c$
0	0	0	0	0	0	$-c$	$-c$

$I''(x, y)$

$P(x, y)$

FIG. 38

a00	a01	a02	a03	a04	a05	a06	a07
a10	a11	a12	a13	a14	a15	a16	a17
a20	a21	a22	a23	a24	a25	a26	a27
a30	a31	a32	a33	a34	a35	a36	a37
a40	a41	a42	a43	a44	a45	a46	a47
a50	a51	a52	a53	a54	a55	a56	a57
a60	a61	a62	a63	a64	a65	a66	a67
a70	a71	a72	a73	a74	a75	a76	a77

I(x, y)



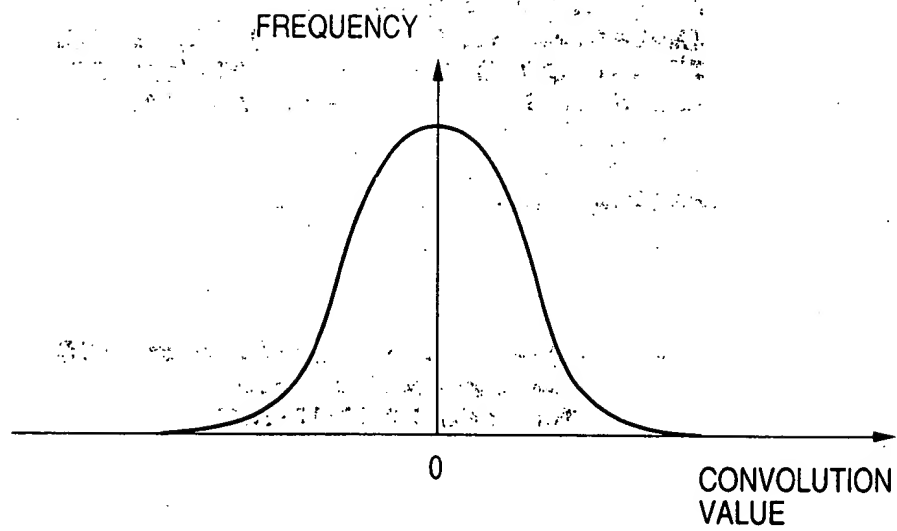
CONVOLUTION

+c	+c	+c	+c	+c	+c	0	0
+c	+c	+c	+c	+c	+c	0	0
+c	+c	+c	+c	+c	+c	0	0
+c	+c	+c	+c	+c	+c	0	0
0	0	0	0	0	0	-c	-c
0	0	0	0	0	0	-c	-c
0	0	0	0	0	0	-c	-c
0	0	0	0	0	0	-c	-c

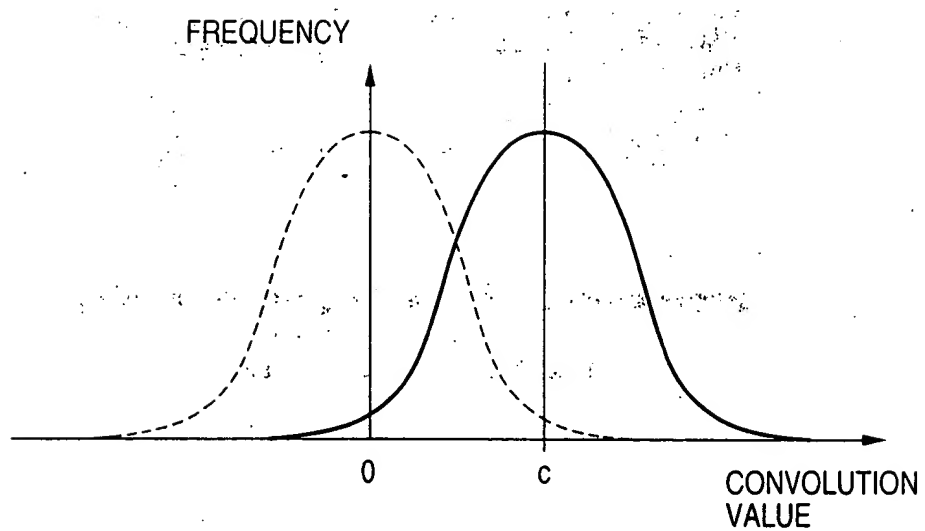
P(x, y)

=0

FIG. 39

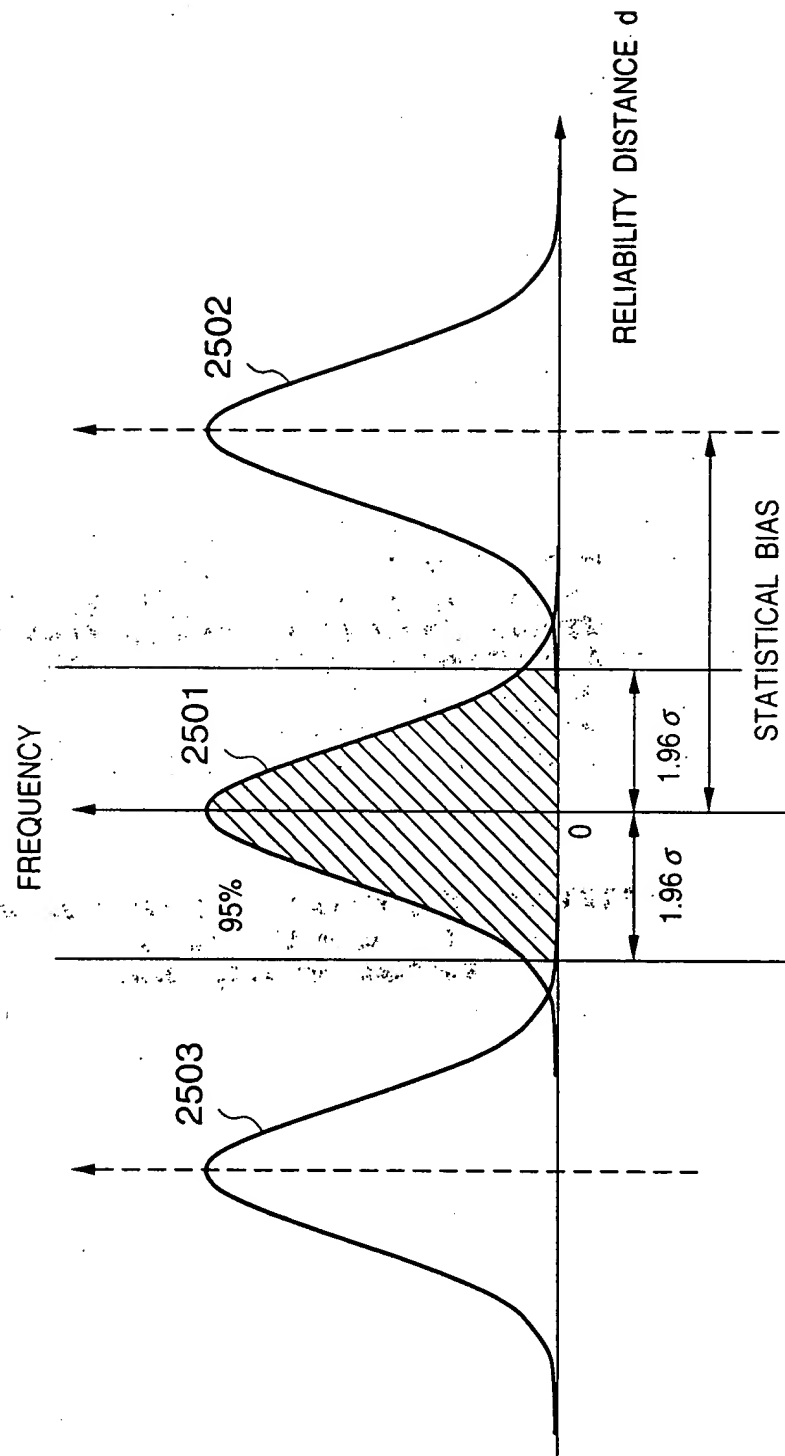


09615577.071300

FIG. 40

09615577.071300

FIG. 41



00ET20° 2255T960

41/53

FIG. 42

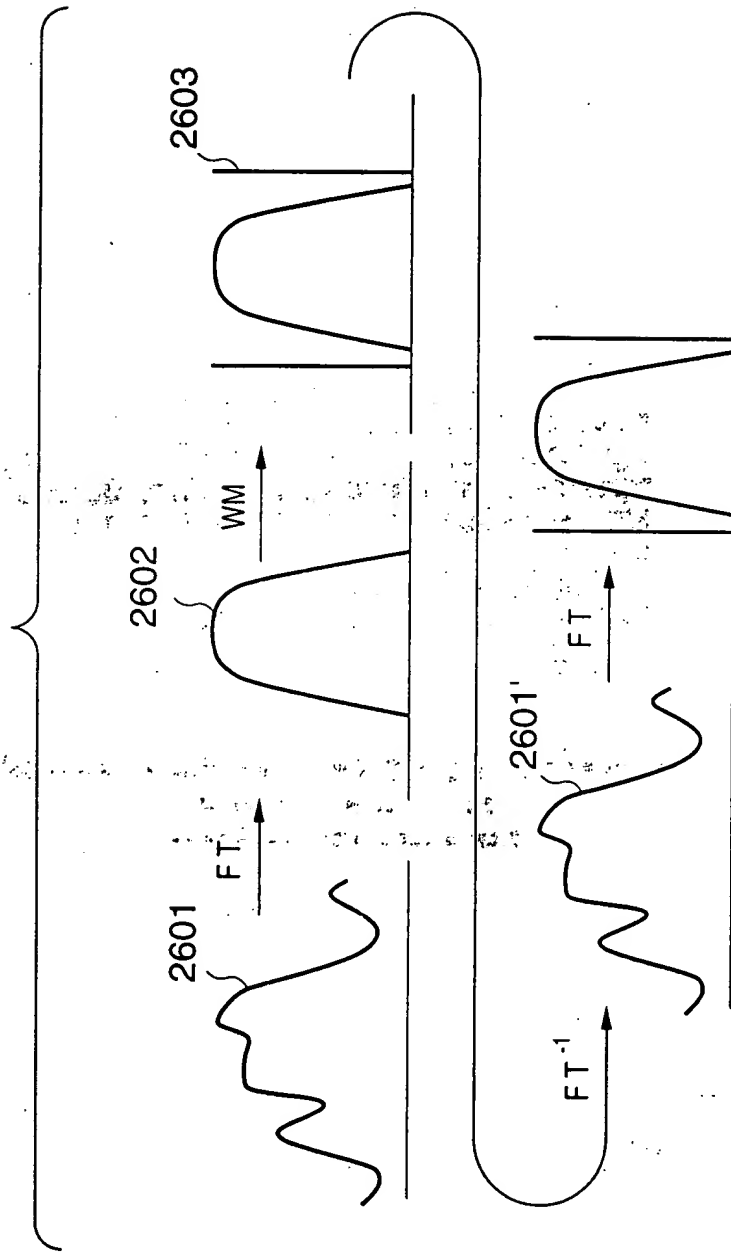


FIG. 43

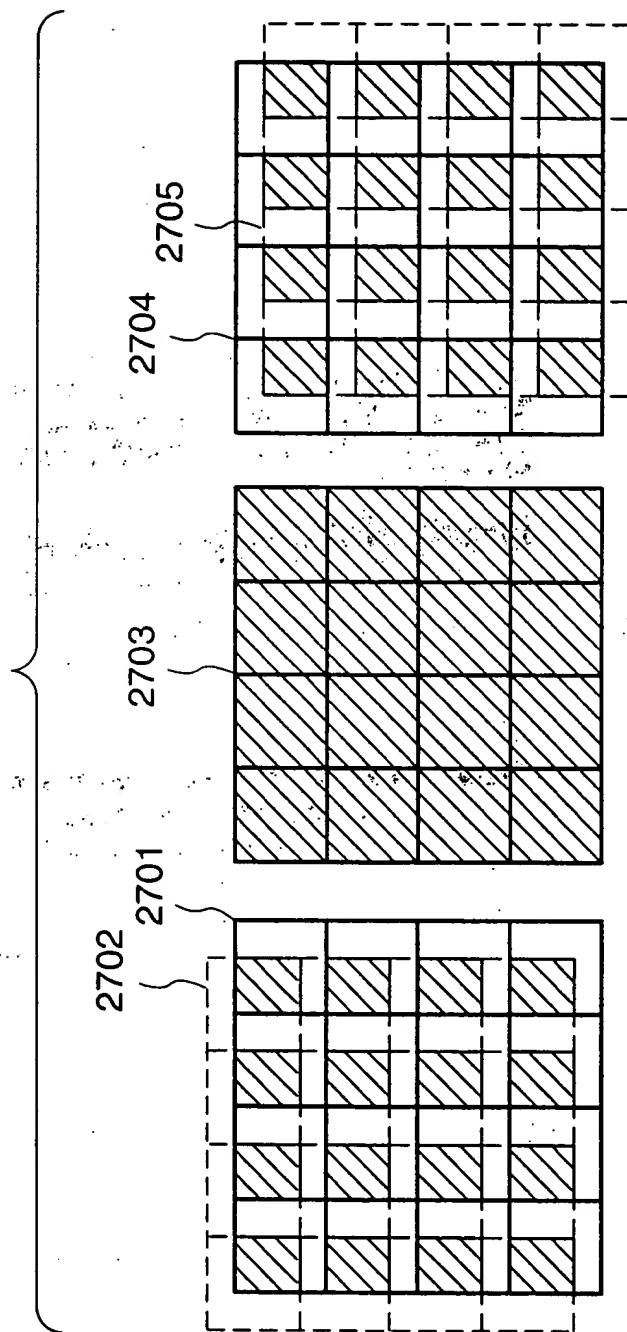
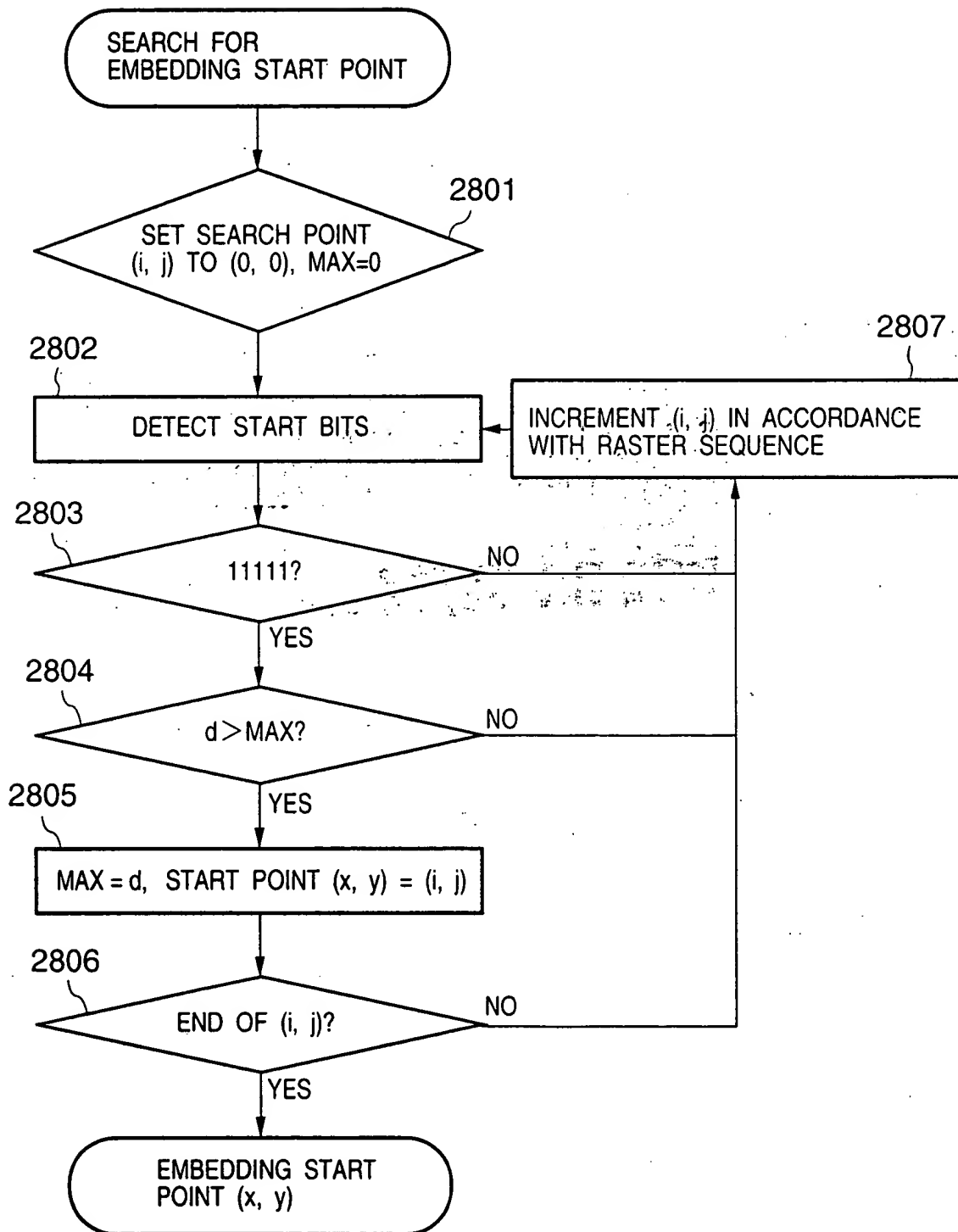
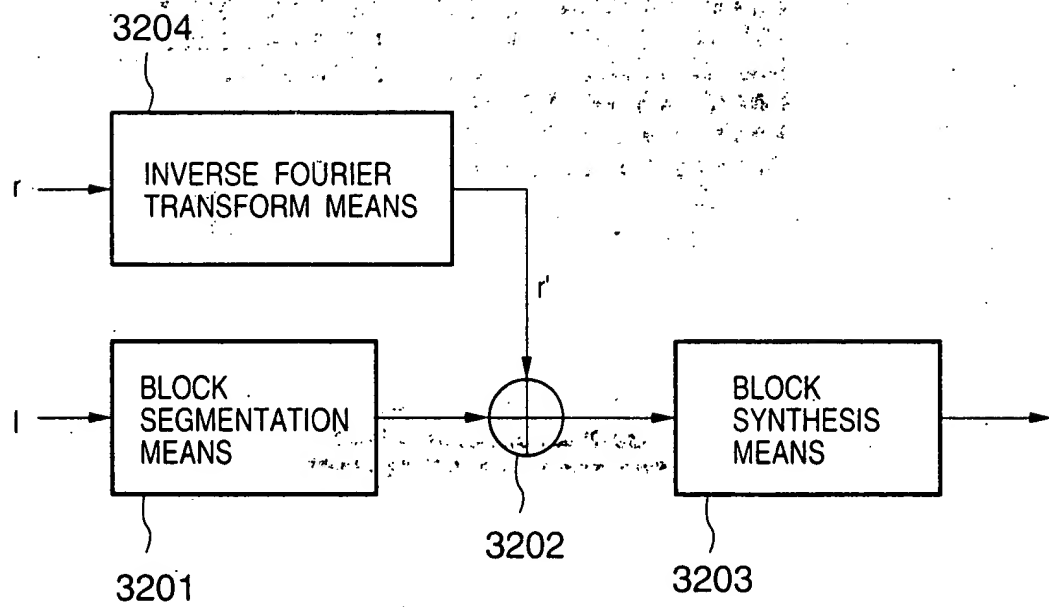


FIG. 44



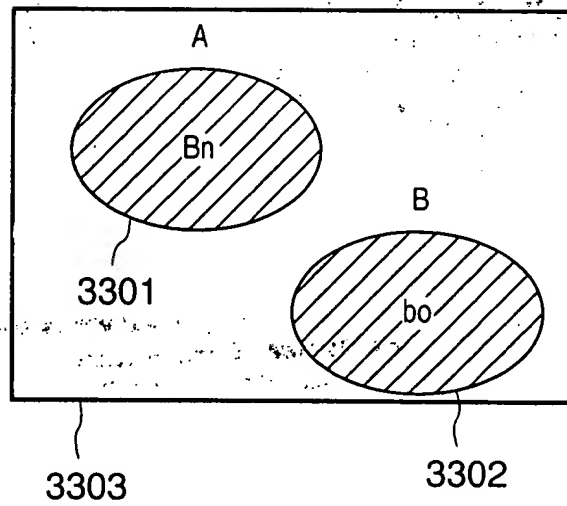
00615577.071300

FIG. 45



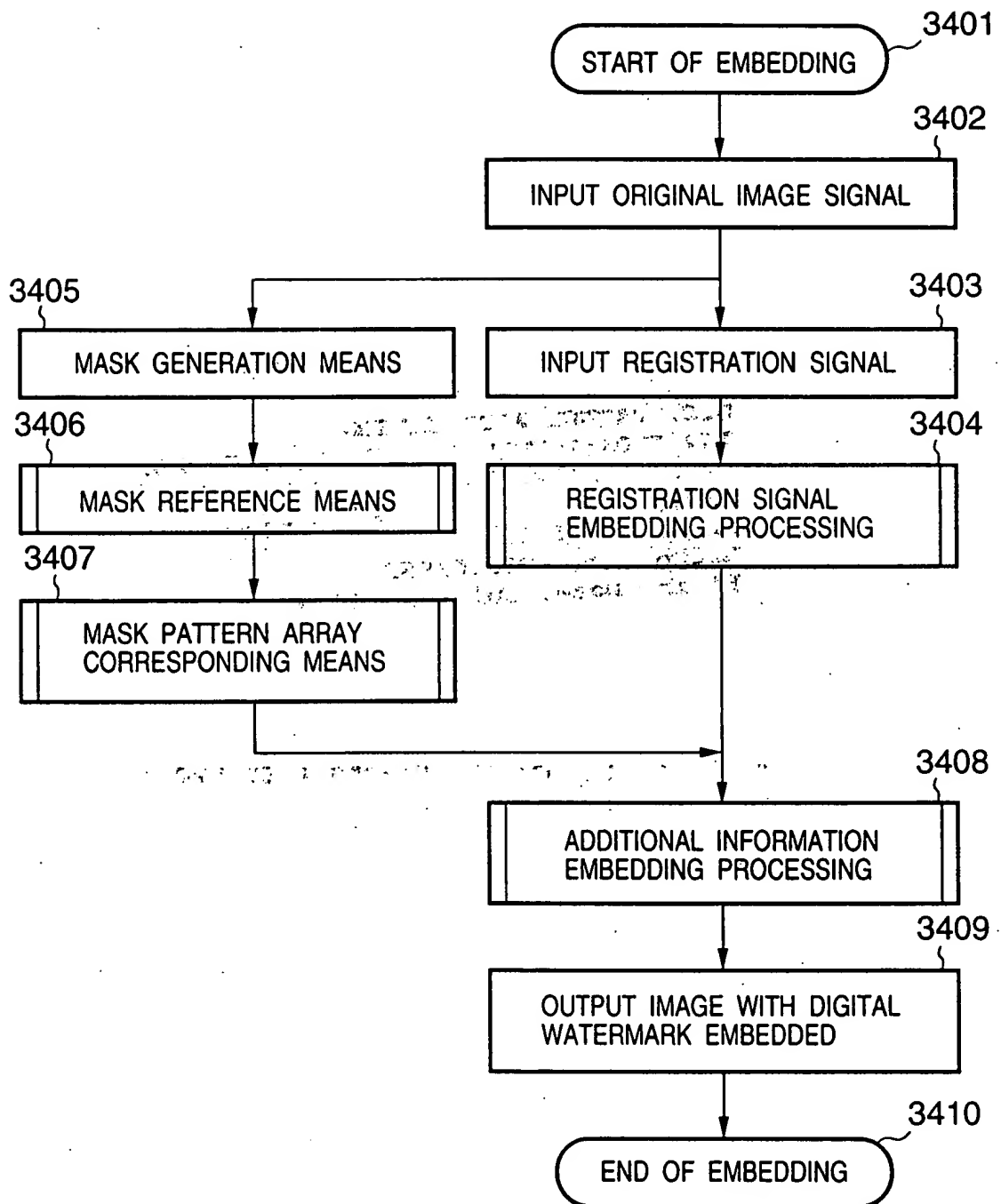
09615577.071300

FIG. 46



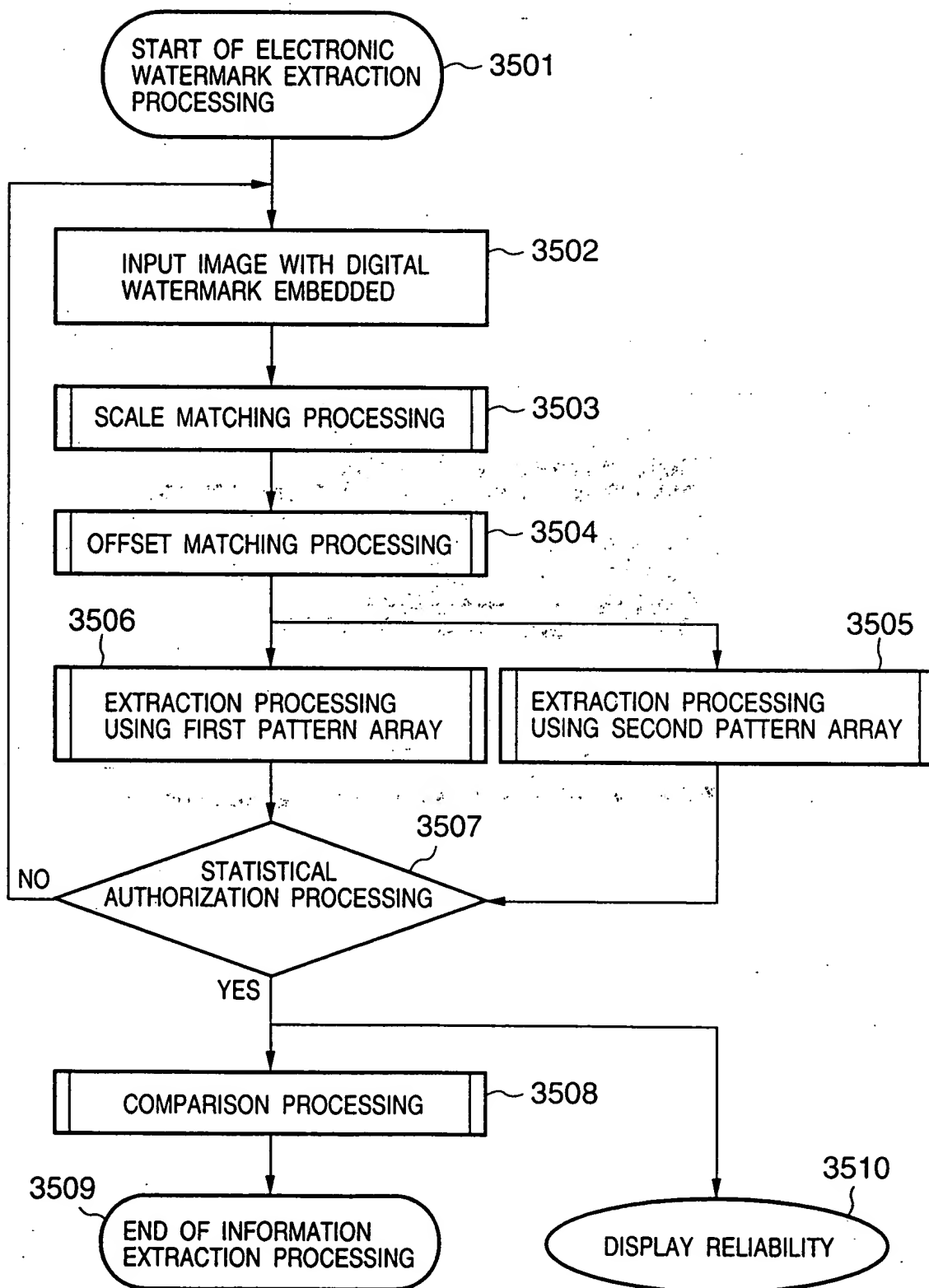
09615577.071300

FIG. 47



00615577.071300

FIG. 48



09615577-071300

FIG. 49A

3601

0	0	0	0	+c	+c	+c	+c
0	0	0	0	+c	+c	+c	+c
0	0	0	0	+c	+c	+c	+c
0	0	0	0	+c	+c	+c	+c
-c	-c	-c	-c	0	0	0	0
-c	-c	-c	-c	0	0	0	0
-c	-c	-c	-c	0	0	0	0
-c	-c	-c	-c	0	0	0	0

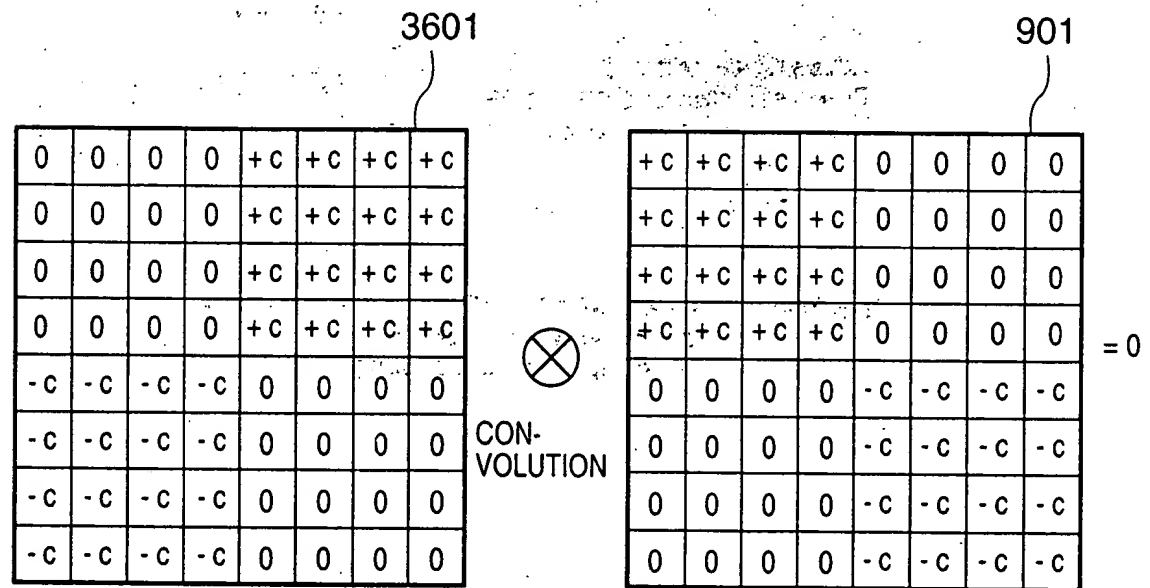
FIG. 49B

3602

-c	-c	0	0	0	0	-c	-c
-c	-c	0	0	0	0	-c	-c
0	0	+c	+c	+c	+c	0	0
0	0	+c	+c	+c	+c	0	0
0	0	+c	+c	+c	+c	0	0
0	0	+c	+c	+c	+c	0	0
-c	-c	0	0	0	0	-c	-c
-c	-c	0	0	0	0	-c	-c

09615577-071300

FIG. 50



09615577-071300

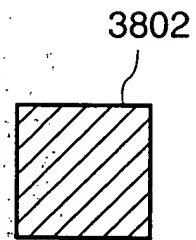
00615577.071300

FIG. 51A

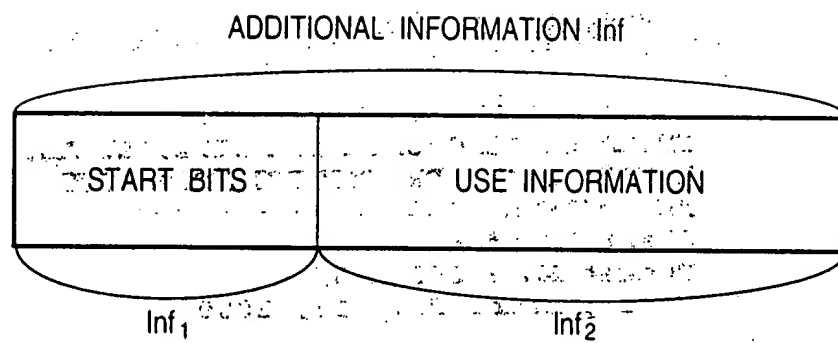


FIRST EMBEDDING
POSITION REFERENCE MASK

FIG. 51B



SECOND EMBEDDING
POSITION REFERENCE MASK

FIG. 52

09615577.071300

FIG. 53

69	211	9	217	16	35	190	101
87	197	109	180	104	212	71	114
166	28	55	143	104	146	85	130
64	206	179	48	240	232	108	154
67	40	91	224	37	32	223	194
203	214	106	231	169	4	208	24
47	195	27	61	2	155	81	213
251	84	202	184	170	10	46	138

COEFFICIENT LAYOUT IN BLUE NOISE MASK (PARTIAL)

00ET20-225T960

FIG. 54

73	244	124	207	70	254	117	196
38	177	11	132	43	186	4	138
104	221	93	231	100	211	85	237
23	151	55	165	26	153	56	172
67	250	113	193	79	240	123	203
47	188	1	142	33	183	14	128
96	215	83	232	111	218	91	227
28	157	60	171	17	147	51	160

COEFFICIENT LAYOUT IN CONE MASK (PARTIAL)

008170"071300